

# 应用 Q 因子进行样品分类的 A-B 相关法\*

范 守 志

(中国科学院海洋研究所)

海洋地质和海洋生物的研究方法是十分相似的：采集标本—测定参数—资料综合对比。往往要对许多标本进行多种参数的测定，结果获得了数量可观、结构复杂的数据阵 (data matrix)。

在数学地质和统计生物学中，多参数样品群的对比和分类研究的任务就是要通过对数据阵的处理来确定各对标本在这些参数的组合状态上 (或各对参数在这些标本中的分布状态上)的一致性或相似程度，以便对这些标本(或参数)分群划类，进而区划环境、阐明各区的统计特征，并为进一步研究标本(或参数)与生成环境之间的动态关系提供基础。这就是所谓的 Q 型分析(或 R 型分析)。

为此，首先是用  $n$  维向量这个数学概念来描述单个样品中所测的  $n$  种成份的组合状态，而用某种相似性统计量的数值来度量一对样品在这  $n$  个参数的组合状态方面的相似程度。至于一批样品的统计分群，则相当于某种数理统计过程。虽然不同的研究者们设计了各种相似性统计量，但在统计分群的方法上，被广泛采用的只有两种：群分析-聚合分类法(枝状图法)<sup>[1,2]</sup>和因子分析法(座标图法)<sup>[1,3,4]</sup>。由于这两种方法在应用时不必对区域的学科背景预作判断，因而获得了广泛的应用<sup>[5,6,7,8,9]</sup>。但其缺点是计算量大，原因也许就在于在统计的过程中抛开了区域的已知特点。其实，在海洋沉积物的研究中，往往有若干特点是可供利用的。因而，数据处理过程的大大简化不仅有必要而且也是可能的。此外，因子分析法并没有提供在载荷因子座标图上识别亚群存在与否的依据。

本文提出的 A-B 相关法同样也是一种二维相关图示法，计算量小，易于在所谓的 A-B 相关图上识别亚群的存在与否。它采用 Q 因子 (即比例相似系数  $\cos \theta$ ) 为相似性统计量，方法的实质是 A、B 双端元相关对比。

文中将先对 Q 因子的有关性质加以概括，然后介绍方法本身。至于与本方法有关的 A、B 端元的确定、在 A-B 相关图上判别同群、异群及识别亚群存在与否等问题，作者将另文介绍。

## 一、基本原理

### 1. 用 $n$ 维向量表示样品的组成

设对样品 A 分析了  $n$  种成分，例如： $n$  种矿物， $n$  种生物， $n$  种化学元素，等等。每种成分的含量各为  $X_1, X_2, \dots, X_n$ 。诸  $X_i$  可以是百分含量也可以是绝对含量的数值。

\* 中国科学院海洋研究所调查研究报告第 469 号；本文承我所张兆瑾同志审阅并提供宝贵意见，李清同志绘图，谨致谢意。

本刊编辑部收到稿件日期：1978 年 6 月 27 日。

下标  $i = 1, 2, \dots, n$ , 依约定顺序代表所测  $n$  种成分; 起初随意约定, 而后贯彻始终。

于是测量结果可以表示为一个  $n$  维向量:

$$\mathbf{X} = (X_1, X_2, \dots, X_n),$$

称之为样品  $A$  的、该  $n$  种成分的组合向量。其中, 诸  $X_i$  称为分量。

每一个样品都有自己的组合向量。

量

$$X = \sqrt{\sum_{i=1}^n X_i^2} \quad (1)$$

称为向量  $\mathbf{X}$  的长度。

向量

$$\mathbf{x} = (x_1, x_2, \dots, x_n)$$

称为样品  $A$  的归一化组合向量, 其中

$$x_i = \frac{X_i}{X}, \quad (i = 1, 2, \dots, n) \quad (2)$$

称为归一化分量。

显然, 诸  $x_i$  满足归一化条件:

$$\sum_{i=1}^n x_i^2 = 1. \quad (3)$$

由于

$$\frac{x_1}{X_1} = \frac{x_2}{X_2} = \dots = \frac{x_n}{X_n} = \frac{1}{X},$$

所以在表示样品的相对组成时, 归一化组合向量  $\mathbf{x}$  与向量  $\mathbf{X}$  是等价的。

## 2. 样品间组成相似性的定性描述

现在考察一对样品  $A$  和  $B$ 。

设其组合状态各为:

$$\mathbf{X} = (X_1, X_2, \dots, X_n),$$

$$\mathbf{Y} = (Y_1, Y_2, \dots, Y_n);$$

或者,

$$\mathbf{x} = (x_1, x_2, \dots, x_n),$$

$$\mathbf{y} = (y_1, y_2, \dots, y_n);$$

则下述定义可以给出  $A$  和  $B$  组成相似性的定性描述。

(定义一)若

$$\left. \begin{array}{l} X_1 = Y_1, \\ X_2 = Y_2, \\ \dots \\ \dots \\ X_n = Y_n, \end{array} \right\} \quad (4)$$

则称样品  $A$  和  $B$  是相同的。

(定义二)若

$$\frac{X_1}{Y_1} = \frac{X_2}{Y_2} = \cdots = \frac{X_n}{Y_n}, \quad (5)$$

则称样品A和B是一致的。

不难证明,条件(5)等价于:

$$\left. \begin{array}{l} x_1 = y_1, \\ x_2 = y_2, \\ \cdots \cdots \\ x_n = y_n, \end{array} \right\} \quad (6)$$

若记

$$k_i = \frac{y_i}{x_i}, \quad (i = 1, 2, \dots, n) \quad (7)$$

则条件(5)即(6)又等价于

$$k_1 = k_2 = \cdots = k_n = 1. \quad (8)$$

(定义三)若当  $X_i \neq 0$  时  $Y_i = 0$ , 且当  $Y_i \neq 0$  时  $X_i = 0$ ,

则样品A和B称为无关。

依(7)式,样品A和B无关的条件等价于

$$\text{或} \quad \left. \begin{array}{l} k_i = 0, \quad \text{当 } k_i < 1; \\ k_i = \infty, \quad \text{当 } k_i > 1. \end{array} \right\} \quad (i = 1, 2, \dots, n) \quad (9)$$

(定义四)若诸  $k_i \approx 1$ , 则称样品A和B相似性强; 反之,

若  $k_i \approx 0$  (当  $k_i < 1$ ), 或  $k_i \gg 1$  (当  $k_i > 1$ ), 则称样品A和B相似性弱。

### 3. Q因子——比例相似性统计量

由下式(10)定义的因子  $Q^{[4]}$ , 其数值可以作为样品A和B在所测n种成分的百分组成上相似程度的指标:

$$\text{即} \quad \left. \begin{array}{l} Q = x_1y_1 + x_2y_2 + \cdots + x_ny_n, \\ Q = \cos \theta = \mathbf{x} \cdot \mathbf{y} = \frac{\mathbf{X} \cdot \mathbf{Y}}{XY}. \end{array} \right\} \quad (10)$$

其理由可由下述定理来说明。

(定理一)样品A和B一致的必要而充分的条件是

$$Q = 1.$$

(定理二)样品A和B无关的必要而充分的条件是

$$Q = 0.$$

(定理三)若样品A与B既非一致又非无关,

则必

$$0 < Q < 1,$$

且A与B相似性越强, Q值越近于1;

A与B相似性越弱, Q值越近于0。

(证明从略)

依式(10), 角度

$$\theta = \cos^{-1} Q$$

是  $n$  维向量  $\mathbf{x}$  和  $\mathbf{y}$  之间的夹角, 称为样品  $A$  和  $B$  之间的相关角。显然, 相关角越近于零, 两个样品的相似性越强; 反之, 相关角越近于  $90^\circ$ , 两个样品越近于无关。

## 二、 $A-B$ 相关法

设在某海区采集了一批标本, 共有  $N$  个(图 1)。

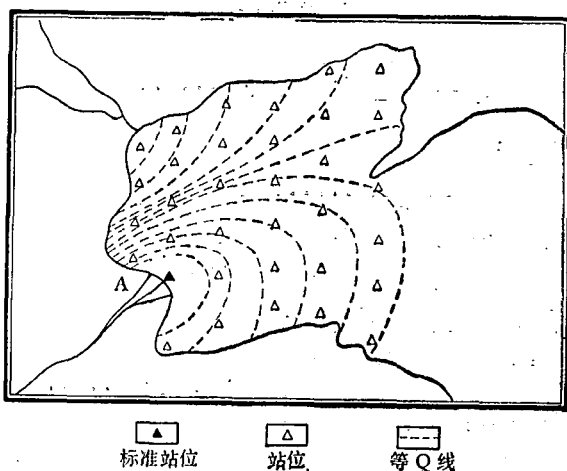


图 1 等  $Q$  图  
▲ 标准站位 △ 站位 —— 等  $Q$  线

如果依群分析-聚合分类法或因子分析法来分群, 那么第一步需将任何一对标本间的  $Q$  值(或其它相似性统计量)都计算出来。这样一共要计及

$$C_n^2 = \frac{1}{2} N(N - 1)$$

个  $Q$  值。

在所研究的海区具有已知的学科背景时, 不必如此。

方法的各步如下:

### 1. 选择坐标系

即依研究内容, 选择有对比价值的  $n$  种成分的含量作为组合向量的各分量。第  $i$  个样品  $S_i$  的组合向量设为

$$\mathbf{X}_i = (X_{i1}, X_{i2}, \dots, X_{in}) \quad i = 1, 2, \dots, N.$$

### 2. 选择参考向量 $\mathbf{A}$

依地区的学科背景, 选择某站位为标准站位, 以该站位上的标本的组合向量  $\mathbf{A}$  作为参考向量, 其余  $N - 1$  个标本的组合状态分别用来与  $\mathbf{A}$  进行对比, 而不是在任何一对标本之间都进行一次对比。

例如, 在有河流注入的海区中, 为研究河流挟带的泥砂在海区中分布的态势, 可以选

择河口处的站位A(图1)作为标准站位<sup>1)</sup>。

### 3. 计算诸 $Q_{A,i}$ 值

$$Q_{A,i} = \frac{\sum_{k=1}^n X_{ik} A_k}{\sqrt{\sum_{k=1}^n X_{ik}^2} \sqrt{\sum_{k=1}^n A_k^2}}, \quad (11)$$

以及

$$Q_{A,i} = \cos^{-1} Q_{A,i} \quad (12)$$

注意： $0 \leq \theta_{A,i} \leq 90^\circ$ 。

### 4. 标绘等Q图

在站位图上标注各站位的 $Q_{A,i}$ 值。将 $Q_{A,i}$ 值相同的站位联成线，依 $Q$ 值急剧变化的位置对所研究的海域进行区划。

### 5. 作A-B相关图

首先可以作A相关图。取直角坐标系 $xoy$ ，作单位圆并取第一象限(图2)。

规定以 $ox$ 轴为量取 $\theta_{A,i}$ 角的起始轴，于是向量 $\mathbf{A}$ 即位于 $x$ 轴上。其余的每个样品，分别用圆周上的点来代表，点的位置是：

$$\angle S_i O A = \theta_{A,i} \quad (13)$$

如此，在圆周上共有 $N$ 个点。离 $A$ 最远的一个记为 $B$ ，它代表本区中与 $A$ 最不相关的那个标本，即

$$Q_{A,B} = \min Q_{A,i}, \quad i = 1, 2, \dots, N. \quad (14)$$

于是又获得另一端元样品 $B$ 。

计算诸 $Q_{B,i}$ ， $i = 1, 2, 3, \dots, N$ 。

于是又可标注等 $Q_{B,i}$ 站位图，并可作如下的A-B相关图(图3)。

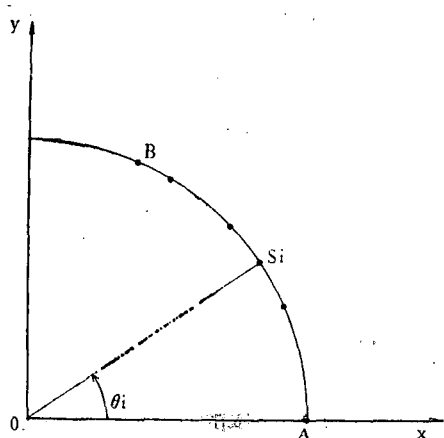


图2 A相关图

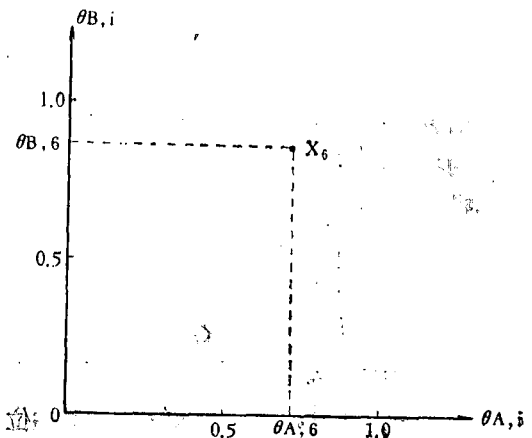


图3 A-B 相关图

1) 产生 $A$ 向量的数学方法，将另文介绍。

每一个样品都依其与  $A$ 、 $B$  两个端元样品之间的  $Q$  值, 即依  $Q_{A,i}$  值和  $Q_{B,i}$  值用  $A-B$  相关图上的一个点来表示。如图 3 中点  $X_6$  代表第 6 号样品。

这样的点可称为相点 (phase point)。

一般来讲, 有了上述图表, 分群划区的工作就可以进行了。

### 三、例

实际的应用将另文介绍。这里举一个例子(取自文献 [1] 第六章), 用以说明  $A-B$  相关图的有效性。

采自某地区的 27 块白云岩标本需要分类。由于标本中物质颗粒细小, 进行了化学分析。共分析了十三种成分, 数据见表 1。用因子分析法 Q型(即主因素分析法)对上述资料处理的最后结果见表 2、表 3 及图 4。这 27 块样品被分成三类, 样品 1—15 为一类, 样

表 1 各标本化学分析原始资料

站 号	样 品 号	含 量 成 分		1	2	3	4	5	6	7	8	9	10	11	12	13
		SiO <sub>2</sub>	Fe <sub>2</sub> O <sub>3</sub>	FeO	Al <sub>2</sub> O <sub>3</sub>	TiO <sub>2</sub>	MnO	CaO	MgO	P <sub>2</sub> O <sub>5</sub>	S	V <sub>2</sub> O <sub>5</sub>	C <sub>有</sub>	X		
H119	1	39.81	0.29	2.69	10.13	0.64	0.09	11.02	7.77	0.18	1.44	0.008	0.06	0.033		
117	2	37.36	0.42	3.42	9.58	0.56	0.12	12.76	8.69	0.16	2.03	0.009	0.09	0.020		
116	3	35.28	0.60	4.12	10.33	0.56	0.12	12.70	8.83	0.24	4.43	0.007	0.18	0.008		
121	4	36.95	0.08	2.52	7.67	0.16	0.18	19.34	7.78	0.20	0.63	0.005	0.10	0.006		
120	5	31.26	0.11	3.30	7.23	0.40	0.13	15.78	10.69	0.16	1.67	0.009	0.32	0.015		
101	6	31.00	0.18	2.61	7.45	0.44	0.08	14.73	10.81	0.16	1.45	0.009	0.54	0.005		
126	7	30.55	0.37	2.41	5.35	0.24	0.11	22.08	7.00	0.04	0.12	0.005	0.54	0.005		
209	8	42.09	0.75	7.69	5.28	0.32	0.12	12.63	5.67	0.04	3.63	0.008	0.32	0.018		
69	9	40.16	0.39	2.24	8.76	0.48	0.16	12.38	9.10	0.16	0.54	0.012	0.41	0.012		
293	10	33.07	0.42	5.65	10.17	1.44	0.28	11.26	8.57	0.20	4.57	0.021	0.06	0.096		
143	11	36.83	0.60	1.90	8.60	0.44	0.12	13.74	9.12	0.24	0.93	0.011	0.18	-0.578		
145	12	29.59	0.10	3.67	6.35	0.24	0.16	16.50	10.74	0.12	1.48	0.028	0.06	0.298		
68	13	40.93	0.57	3.17	10.78	0.72	0.12	10.83	7.55	0.16	1.91	0.000	0.12	0.625		
131	14	40.23	0.44	4.24	8.67	0.56	0.12	11.14	7.79	0.20	2.19	0.012	0.18	0.139		
115	15	37.94	0.49	5.82	8.60	0.48	0.08	11.66	7.37	0.16	4.05	0.007	0.08	0.056		
118	16	23.72	0.00	2.61	4.79	0.28	0.12	20.72	13.08	0.18	0.77	0.009	0.06	0.005		
122	17	22.58	0.02	3.17	1.95	0.16	0.22	23.56	12.29	0.10	1.06	0.004	0.78	0.004		
154	18	16.50	0.00	4.74	1.42	0.08	0.00	26.22	12.63	0.22	1.40	0.004	0.05	0.008		
109	19	6.50	0.00	2.35	1.08	0.04	0.72	31.84	14.73	0.08	0.19	0.003	0.08	0.003		
237	20	27.70	0.21	1.28	0.86	0.00	0.48	21.54	13.46	0.28	0.08	0.006	0.10	0.017		
144	21	24.47	0.07	2.20	3.29	0.08	0.24	23.92	10.95	0.10	0.47	0.014	0.39	0.014		
99	22	23.04	0.08	2.11	1.73	0.08	0.14	22.69	15.36	0.04	0.54	0.003	0.59	0.004		
141	23	21.77	0.00	1.96	2.45	0.16	0.24	23.20	14.04	0.08	0.35	0.001	7.08	0.018		
147	24	18.30	0.00	2.65	3.59	0.12	0.20	22.91	14.52	0.12	0.75	0.030	0.59	0.005		
183	25	16.38	0.52	1.62	1.11	0.00	0.40	28.28	12.69	0.04	0.19	0.010	0.05	0.379		
280	26	8.10	0.00	3.15	1.19	0.08	0.80	27.54	15.74	0.16	1.45	0.008	0.03	0.144		
187	27	5.30	1.37	1.18	1.69	0.11	0.638	31.11	12.78	0.10	0.832	痕量	0.014	0.554		

表2 前三个特征值

主因素	特征值	特征值累计	累计百分比%
1	23.927	23.927	88.8
2	2.869	26.796	99.4
3	0.069	26.865	99.6

表3 各标本的权系数

样品号	$\lambda_1$ 的权系数	$\lambda_2$ 的权系数	样品号	$\lambda_1$ 的权系数	$\lambda_2$ 的权系数
1	0.950	0.307	15	0.940	0.331
2	0.930	0.366	16	0.705	0.706
3	0.921	0.377	17	0.642	0.764
4	0.870	0.483	18	0.492	0.866
5	0.862	0.504	19	0.185	0.980
6	0.871	0.487	20	0.721	0.679
7	0.963	0.376	21	0.678	0.732
8	0.938	0.316	22	0.640	0.761
9	0.936	0.345	23	0.613	0.766
10	0.923	0.363	24	0.571	0.817
11	0.916	0.395	25	0.458	0.886
12	0.840	0.540	26	0.257	0.962
13	0.955	0.292	27	0.160	0.980
14	0.950	0.311			

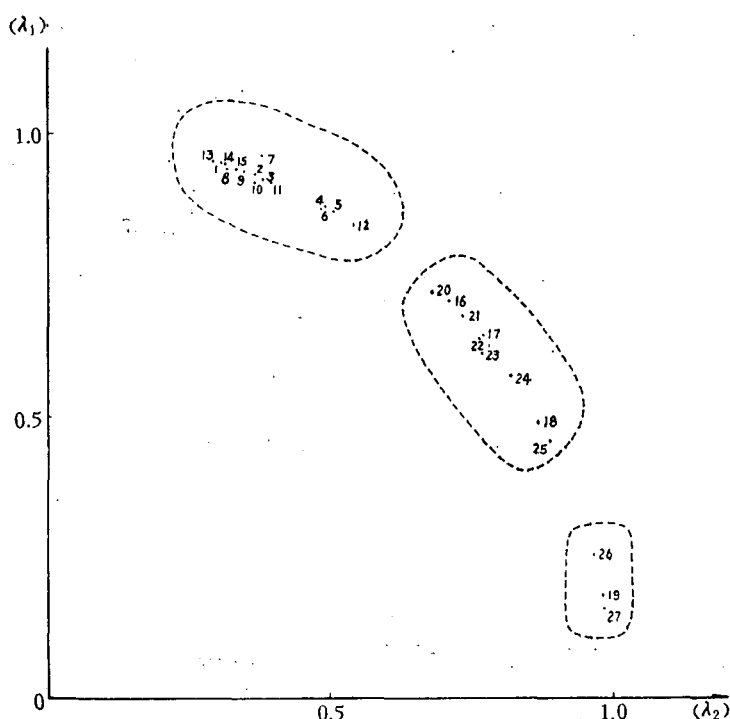


图4 样品依权系数分类图

品 19、26 和 27 为一类，其余九块样品为第三类(过渡类型)。

现以本文所述方法进行分类。

即以样品 27 为标准样品，于是可算出诸  $Q_{27,i}$  之值，列入表 4。依此又作出图 5。

图 5 表明，样品 13 为另一端元；计算诸  $Q_{13,i}$  之值，也列入表 4。依表 4 点绘  $Q$  因子分类图，即 A-B 相关图(图 6)。

表 4 各标本的 Q 因子

样品号 $i$	$Q_{27,i}$	$Q_{13,i}$	样品号 $i$	$Q_{27,i}$	$Q_{13,i}$
1	0.456	0.999	15	0.478	0.993
2	0.511	0.997	16	0.729	0.799
3	0.524	0.990	17	0.849	0.835
4	0.619	0.974	18	0.929	0.721
5	0.633	0.972	19	0.997	0.466
6	0.617	0.975	20	0.772	0.885
7	0.717	0.932	21	0.828	0.862
8	0.458	0.983	22	0.840	0.828
9	0.484	0.988	23	0.841	0.809
10	0.510	0.986	24	0.891	0.785
11	0.537	0.993	25	0.945	0.698
12	0.664	0.962	26	0.985	0.527
13	0.444	1.000	27	1.000	0.444
14	0.458	0.998			

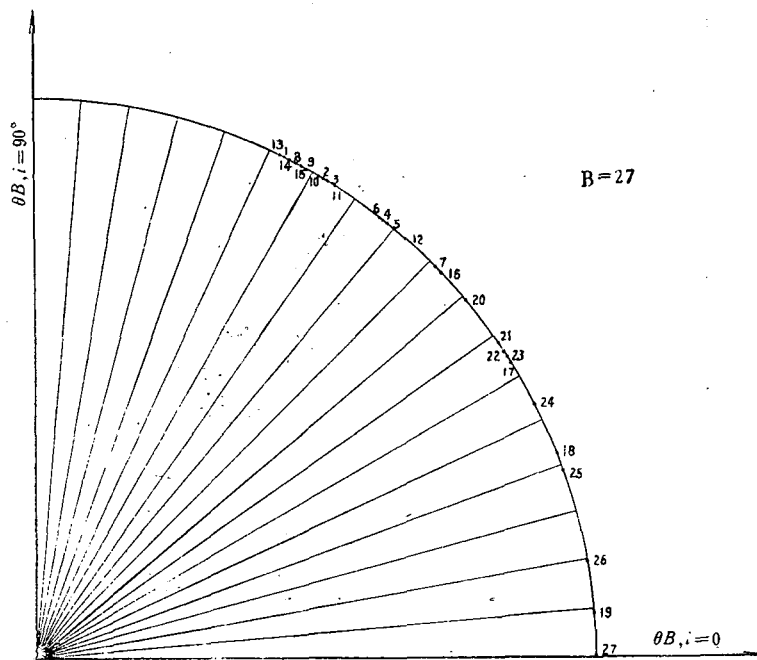


图 5 相关角分布图

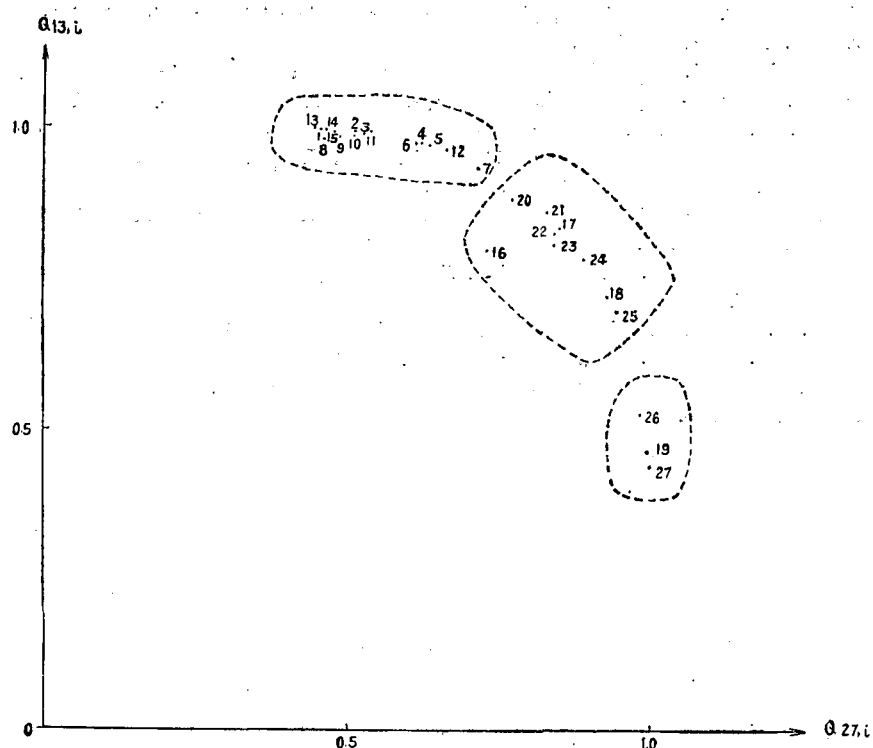


图4 A-B 相关图

很清楚,图6给出的分类结果是与图4一致的。

应当指出,在本例中,标准样品A端元(即27号样品)是由主因素分析法处理的结果提供的。在实际应用中,应依所研究海区的具体特征来选定A样品。

本方法的优点是仅计及 $2N$ 个 $Q$ 值,比需要至少要计及 $\frac{1}{2}N(N-1)$ 个 $Q$ 值的枝状图法来说是简捷多了;比起主因素分析法来说,就更为简捷。

下表也许可以说明这点。

表5 计算量对比

样 品 数 $N$	A-B 相 关 法	枝 状 图 法
50	100	1225
100	200	4950
200	400	19900

至于本方法的有效性,有待于今后的实践来检验。

### 参 考 文 献

- [1] 中国科学院地质研究所, 1977。数学地质引论。地质出版社。第四章, 第六章。
- [2] McCammon, R., 1968. The dendrogram: a new tool for correlation. *Geol. Soc. Amer. Bull.* 79(11):1663—1670.

- [3] Imbrie, J. and T. H. Van Andel, 1964. Vector analysis of heavy mineral data. *Geol. Soc. Amer. Bull.* 75(11):1131—1156.
- [4] Klovan, J. E., 1975. R- and Q-mode factor analysis, in: Concepts in geostatistics, ed. by R. McCammon. Springer-Verlag, Berlin-Heidelberg-New York. Chapter 2 pp. 21—67.
- [5] Stephenson, W. and W. T. Williams, 1971. A study of the benthos of soft bottoms, Sek Harbour, New Guinea, using numerical analysis. *Aust. J. mar. Freshwat. Res.* 22(1):11—34.
- [6] Hughes, R. N. and M. L. H. Thomas, 1971. The classification and ordination of shallow-water benthic samples from Prince Edward Island, Canada. *J. exp. mar. Biol. Ecol.* 7(1):1—39.
- [7] Johnson, K. R. and A. D. Albani, 1973. Biotopes of recent benthonic foraminifera in Pitt Water, Broken Bay, N. S. W. (Australia). *Palaeogeography, Palaeoclimatology, Palaeoecology* 14, pp. 265—276.
- [8] Albani, A. D. and K. R. Johnson, 1976. Resolution of foraminiferal biotopes in Broken Bay, N. S. W. *Jour. Geol. Soc. Aust.* 22(4):435—446.
- [9] Albani, A. D., 1974. Sedimentary environments in Broken Bay, N. S. W. *Jour. Geol. Soc. Aust.* 21(3):279—290.

## THE A-B CORRELATION METHOD FOR SAMPLE CLASSIFICATION BY USING THE Q FACTOR\*

Fang Shouzhi

(Institute of Oceanology, Academia Sinica)

### ABSTRACT

In this paper, a simpler statistical method for sample classification is given. In this method each of the  $N$  samples is compared with the end-member samples A and B. The selection of the end-member samples from the  $N$  samples is based on a consideration of some specific features of the area investigated or is based on a formula which will be presented in a forthcoming paper. The classification of  $N$  samples may be done on the A-B relation diagram after the values of all the factors  $Q_{A,i}$  and  $Q_{B,i}$  ( $i = 1, 2, \dots, N$ ) are calculated.

\* Contribution No. 469 from the Institute of Oceanology, Academia Sinica.